Perspectiva de precipitación: octubre–diciembre de 2026

Ecuador continental — Análisis regional y contraste de modelos globales

Boletín no: 10 - 2026

Fecha: 16 de octubre de 2026

---

1. Introducción

El Instituto Nacional de Meteorología e Hidrología emite el Boletín de Predicción Climática, con información del pronóstico de precipitación para los próximos tres meses: Octubre, Noviembre y Diciembre del 2026. Los datos que permiten realizar el pronóstico climático de precipitación son resultados del modelo numérico de predicción CWRF[1] el mismo que hace uso de datos globales del Sistema de Pronóstico Climático (CFS).

Metodología

El Boletín toma como marco de referencia la normal climática de los mapas de precipitación comprendidos entre el período 1985-2015, la misma que es una representación del comportamiento promedio de precipitación (lluvia) de los meses analizados. Los mapas y gráficos permiten al usuario prever una estimación sobre la tendencia de precipitación esperada, y la variación (superávit/déficit) de precipitación respecto a la normal climática para los próximos tres meses, esto según resultados del modelo numérico CWRF.

Análisis climatológico para las regiones: Litoral, Interandina y Amazónica

Región litoral: En la figura 1 se presenta la normal climatológica mensual de la región, aquí se considera la serie de datos climatológicos del periodo 1985-2015. De esta figura la normal de precipitación para el mes de Octubre es de 39.4 [mm/mes] para el interior de la región litoral, mientras que en el perfil costero se tiene precipitaciones de 7.7 [mm/mes].

Para el mes de noviembre la normal esperada de precipitación es de 52.4 [mm/mes] al interior de la región, mientras que para el perfil costero se tiene un valor 10.4 [mm/mes] respectivamente.

Para el mes de diciembre, la normal esperada de precipitación es de 130.4 [mm/mes] al interior de la región, mientras que para el perfil costero se tiene un valor 26.4 [mm/mes] respectivamente.

[1] Climate Wheather Research and Forecasting, versión 4.4

Dirección: Núñez de Vela N36-15 y Corea
Código postal: 170507 / Quito-Ecuador
Teléfono: +593-2 397 1100
www.inamhi.gob.ec

EL NUEVO ECUADOR

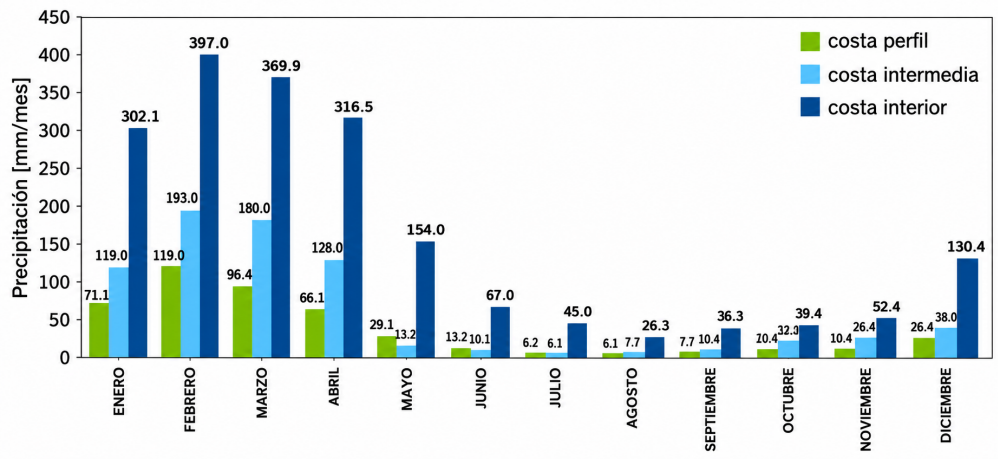


Figura 1: Climatología región litoral.

Región Interandina: Para esta región, la normal climatológica en el mes de octubre es de 78.8 [mm/mes]. Para el mes de noviembre la normal climatológica de precipitación es de 84.3 [mm/mes] y diciembre es de 104.0 [mm/mes] respectivamente, esto se observa en la figura 2.

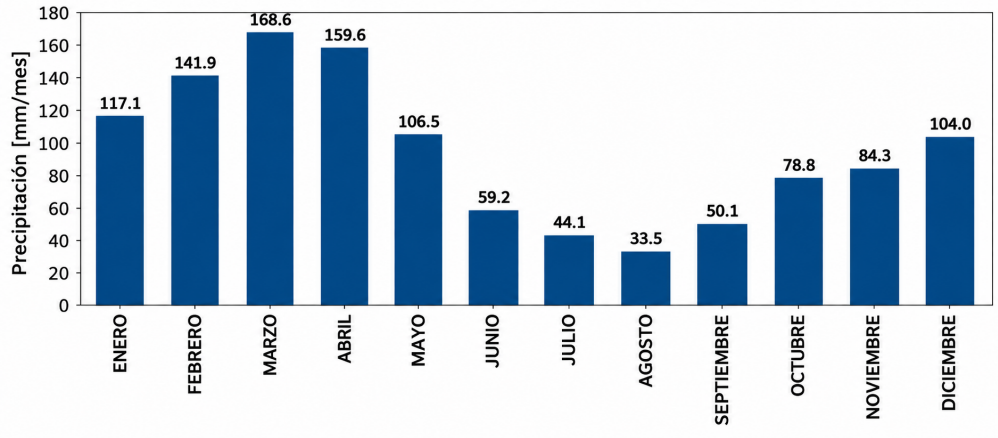


Figura 2: Climatología región Interandina.

Dirección: Núñez de Vela N36-15 y Corea
Código postal: 170507 / Quito-Ecuador
Teléfono: +593-2 397 1100
www.inamhi.gob.ec

Región amazónica: Para esta región, la normal climatológica de precipitación en el mes de octubre es 226.6 [mm/mes]. Para el mes de noviembre las precipitaciones esperadas según la normal climatológica tienen el valor de 226.4 [mm/mes] y diciembre con un valor de 212.8 [mm/mes] lo cual se muestra en la figura 3.

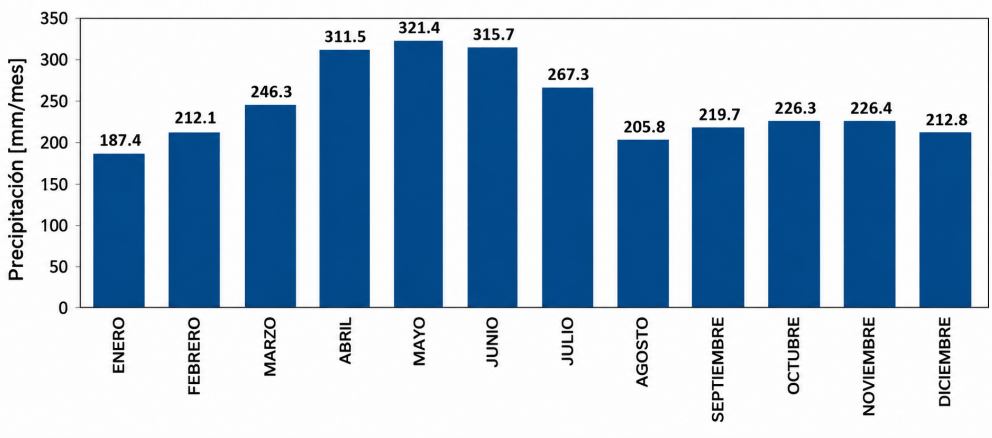


Figura 3: Climatología región amazónica.

2. Antecedente: precipitación de septiembre de 2026

El mapa de septiembre corresponde a una interpolación espacial por distancia inversa ponderada (IDW), con distribución heterogénea y máximos locales. Constituye un antecedente hidrometeorológico. La interpretación depende de la cobertura y calidad de las estaciones empleadas.

Dirección: Núñez de Vela N36-15 y Corea
Código postal: 170507 / Quito-Ecuador
Teléfono: +593-2 397 1100
www.inamhi.gob.ec

EL NUEVO ECUADOR

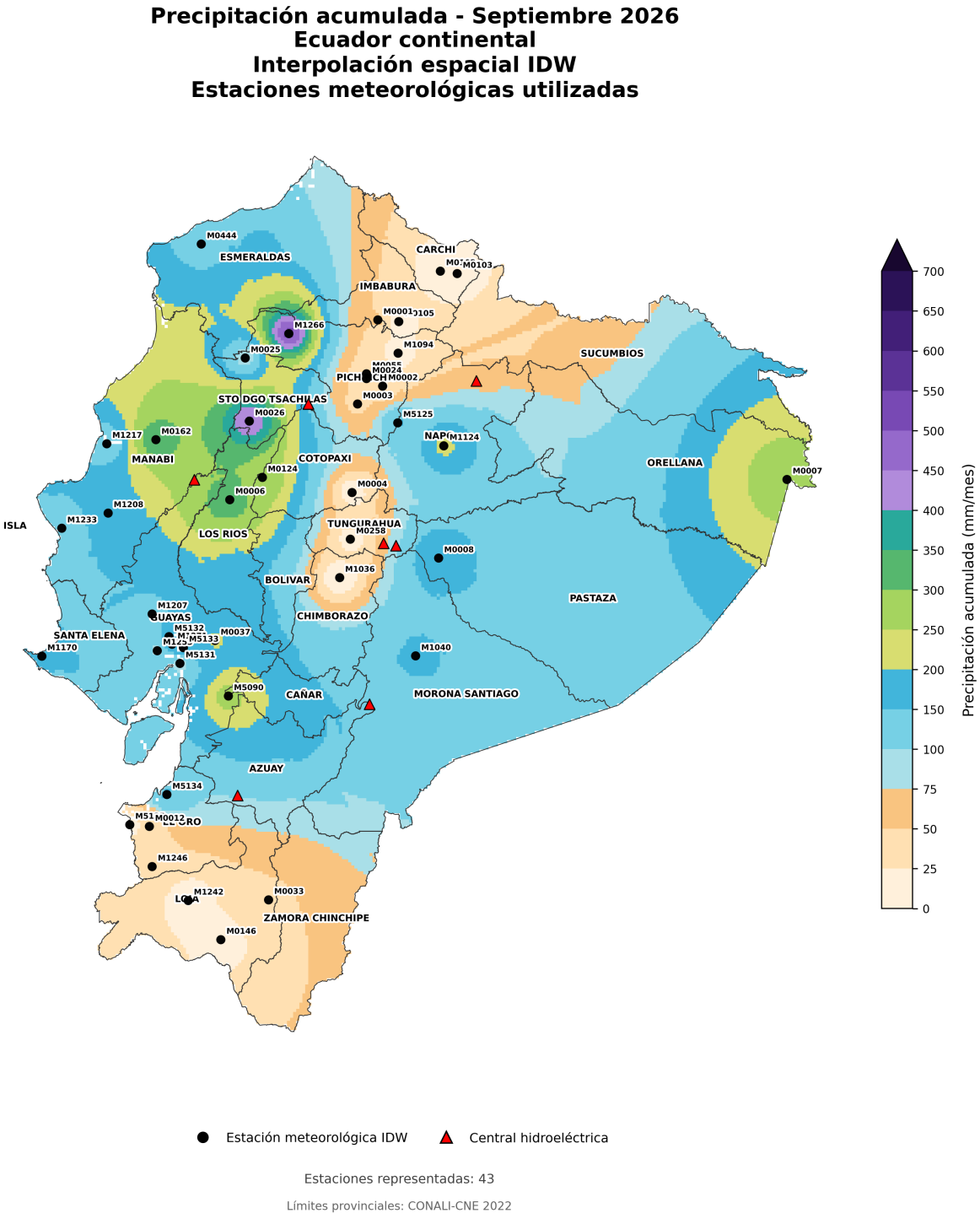


Figura 4: Precipitación acumulada interpolada mediante IDW, septiembre de 2026. Fuente: elaboración INAMHI suministrada.

Dirección: Núñez de Vela N36-15 y Corea
Código postal: 170507 / Quito-Ecuador
Teléfono: +593-2 397 1100
www.inamhi.gob.ec

EL NUEVO ECUADOR

3. Síntesis ejecutiva

El pronóstico regional INAMHI/WRF presenta anomalías positivas de precipitación en sectores de la Sierra y vertientes andinas durante octubre–diciembre de 2026, mientras que en parte de la Amazonía aparecen anomalías negativas. Los productos globales Copernicus C3S, CFSv2, NMME e IRI muestran una señal relativamente seca en amplios sectores del norte de Sudamérica. La coincidencia es parcial en áreas amazónicas y la principal discrepancia se concentra en los Andes. Las señales se interpretan de manera cualitativa; no constituyen una validación del modelo regional.

4. Pronóstico regional INAMHI: octubre–diciembre de 2026

La figura 5 presenta la precipitación mensual pronosticada, la normal climatológica institucional y sus anomalías absolutas. Los resultados muestran una tendencia hacia precipitaciones superiores a la normal en determinados sectores de la región Interandina, mientras que algunas zonas de la Amazonía presentan señales de precipitación inferior a los valores habituales. En el Litoral se observa un comportamiento espacial variable, con condiciones próximas, superiores o inferiores a la normal según el sector.

Estas proyecciones permiten identificar la tendencia climática esperada para cada mes, es decir, las zonas donde se anticipan mayores o menores acumulados de precipitación respecto a las condiciones habituales. No representan probabilidades de ocurrencia ni valores exactos garantizados, sino estimaciones de las condiciones predominantes que podrían presentarse durante el período de pronóstico.

Dirección: Núñez de Vela N36-15 y Corea
Código postal: 170507 / Quito-Ecuador
Teléfono: +593-2 397 1100
www.inamhi.gob.ec

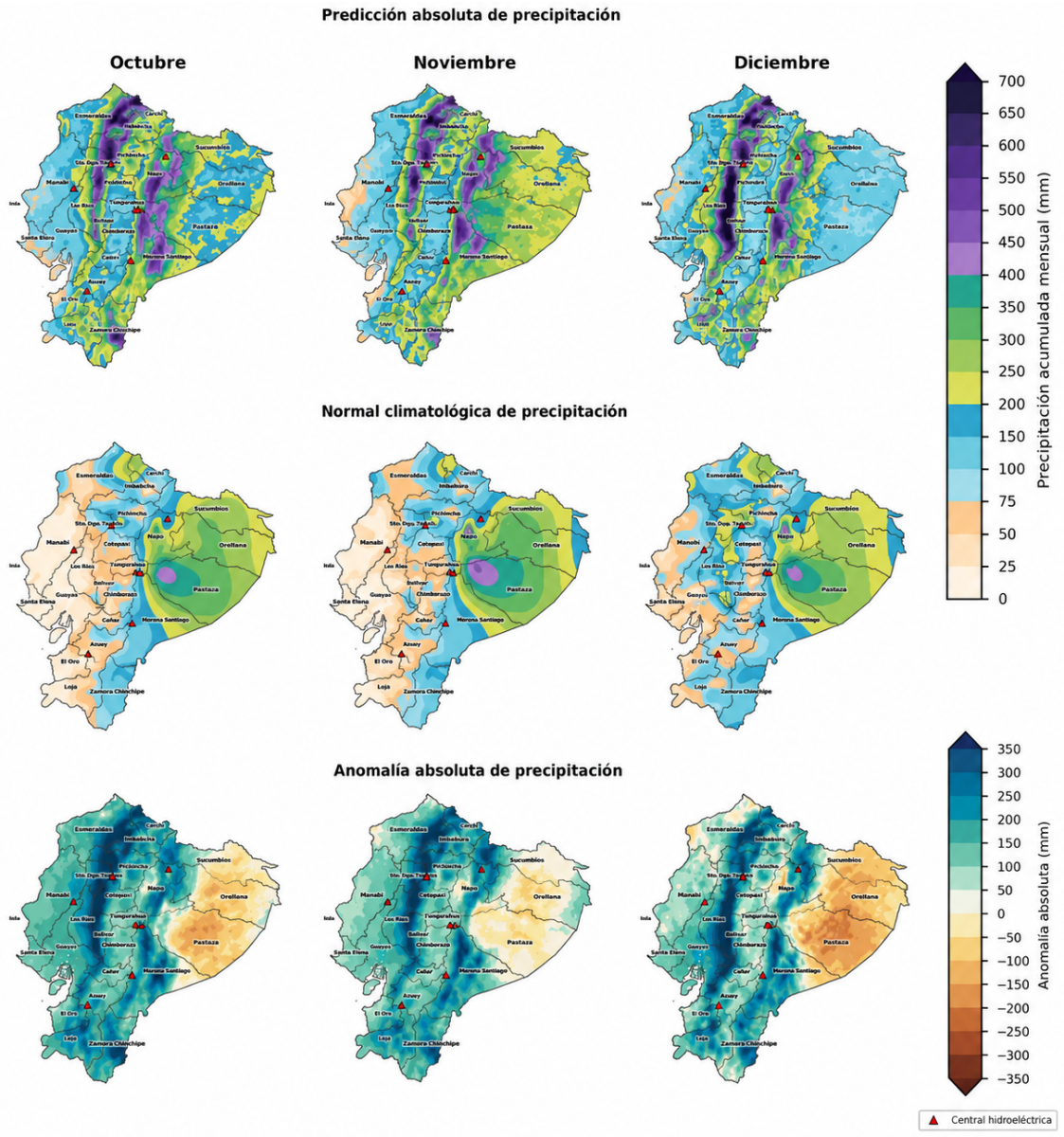


Figura 5: Pronóstico regional INAMHI para octubre, noviembre y diciembre de 2026: precipitación mensual, normal y anomalía absoluta. Las escalas corresponden a milímetros. Fuente: Inamhi.

5. Comparación con los modelos globales

Comparabilidad. Los resultados del pronóstico climático nacional INAMHI, obtenidos mediante el modelo CWRF, se contrastan con los productos estacionales Copernicus C3S, CFSv2, NMME e IRI.

Dirección: Núñez de Vela N36-15 y Corea
Código postal: 170507 / Quito-Ecuador
Teléfono: +593-2 397 1100
www.inamhi.gob.ec

EL NUEVO ECUADOR

La comparación permite identificar coincidencias y diferencias en las tendencias de precipitación esperadas para Ecuador durante octubre, noviembre y diciembre de 2026.

Se considera principalmente la distribución espacial y el signo de las anomalías, debido a que los modelos presentan diferentes resoluciones, escalas y metodologías.

5.1. Octubre de 2026

Pronóstico nacional INAMHI.

Para octubre, el pronóstico nacional presenta una distribución espacial variable de las precipitaciones en Ecuador continental.

En la **región Litoral**, se espera una tendencia hacia precipitaciones próximas a los valores normales en varios sectores del perfil costero, mientras que hacia el interior de la región se identifican zonas con anomalías positivas, especialmente en sectores centrales y meridionales.

En la **región Interandina**, el modelo presenta una tendencia hacia el incremento de las precipitaciones, con sectores donde los acumulados podrían superar los valores normales, particularmente en zonas del centro y sur de la región. Sin embargo, la señal no es uniforme en toda la Sierra.

En la **región Amazónica**, se identifican contrastes entre las estribaciones de la cordillera y la llanura oriental. En sectores de las estribaciones, especialmente al sur, se proyectan precipitaciones superiores a la normal, mientras que en determinadas áreas de la llanura se observan anomalías negativas o valores próximos a la normal.

Contraste con Copernicus C3S.

El producto estacional Copernicus C3S presenta una señal relativamente seca sobre parte del norte de Sudamérica, incluyendo sectores del entorno ecuatorial.

Esta perspectiva presenta una **concordancia parcial** con el pronóstico nacional en determinadas zonas de la Amazonía donde INAMHI identifica anomalías negativas.

Sin embargo, se observan **discrepancias en sectores andinos**, donde el pronóstico regional presenta anomalías positivas que no se encuentran claramente representadas en la señal global de menor precipitación.

En la Costa, la concordancia resulta menos definida debido a la heterogeneidad espacial del pronóstico nacional y a la resolución del producto global.

Interpretación climática.

Para octubre se identifica una tendencia nacional diferenciada por regiones: condiciones próximas a la normal en parte del Litoral, incremento de precipitación en determinados sectores andinos y contrastes espaciales en la Amazonía.

La señal global de Copernicus no reproduce de manera uniforme estas características, por lo que la concordancia entre ambos productos se considera parcial.

Dirección: Núñez de Vela N36-15 y Corea
Código postal: 170507 / Quito-Ecuador
Teléfono: +593-2 397 1100
www.inamhi.gob.ec

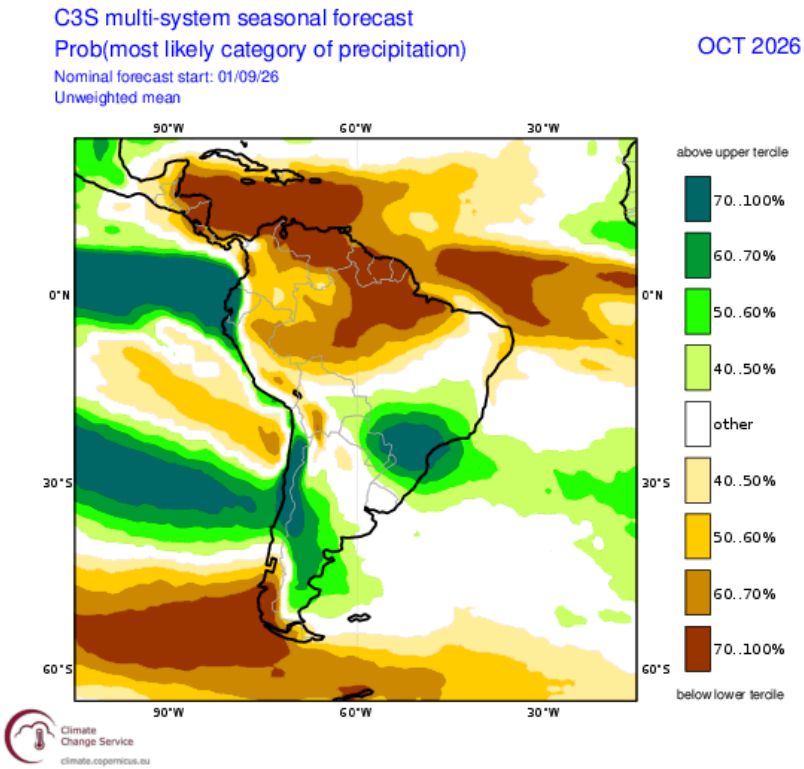


Figura 6: Pronóstico de precipitación Copernicus C3S para octubre de 2026.

5.2. Noviembre de 2026

Pronóstico nacional INAMHI.

Para noviembre, el pronóstico nacional mantiene una distribución heterogénea de las anomalías de precipitación.

En la **región Litoral**, se esperan precipitaciones próximas a la normal en varios sectores costeros, mientras que hacia el interior se identifican áreas con anomalías positivas.

No obstante, algunas zonas del perfil costero podrían registrar acumulados inferiores a los valores climatológicos.

En la **región Interandina**, se mantiene una tendencia hacia precipitaciones normales y superiores a la normal en sectores específicos, particularmente en zonas centrales y meridionales.

Esta distribución indica que la señal húmeda no comprende necesariamente toda la región andina.

En la **región Amazónica**, el pronóstico presenta una tendencia hacia precipitaciones próximas o inferiores a la normal en parte de la llanura oriental, mientras que las estribaciones de la cordillera mantienen sectores con anomalías positivas.

Contraste con Copernicus C3S.

Copernicus presenta una señal de precipitación relativamente inferior a la normal en sectores del norte de Sudamérica.

Dirección: Núñez de Vela N36-15 y Corea
Código postal: 170507 / Quito-Ecuador
Teléfono: +593-2 397 1100
www.inamhi.gob.ec

Esta condición muestra una **coincidencia parcial** con las anomalías negativas identificadas por INAMHI en sectores amazónicos.

Por el contrario, existe una **discrepancia en áreas de la Sierra** donde el modelo nacional proyecta acumulados superiores a la normal.

Contraste con CFSv2.

El modelo CFSv2 presenta anomalías estandarizadas negativas en parte del entorno ecuatorial sudamericano, lo que sugiere una tendencia hacia precipitaciones inferiores a sus valores climatológicos.

Esta señal es parcialmente consistente con el pronóstico nacional en sectores de la llanura amazónica.

Sin embargo, no reproduce claramente los superávits localizados que presenta el modelo regional en sectores andinos.

Contraste con NMME.

El conjunto multimodelo NMME también identifica una señal relativamente seca sobre sectores del norte continental.

Su comportamiento general presenta similitudes con CFSv2 y Copernicus, aunque existen diferencias espaciales entre los productos.

Respecto al INAMHI, la concordancia se concentra principalmente en sectores orientales con anomalías negativas, mientras que las mayores diferencias aparecen en zonas andinas con anomalías positivas.

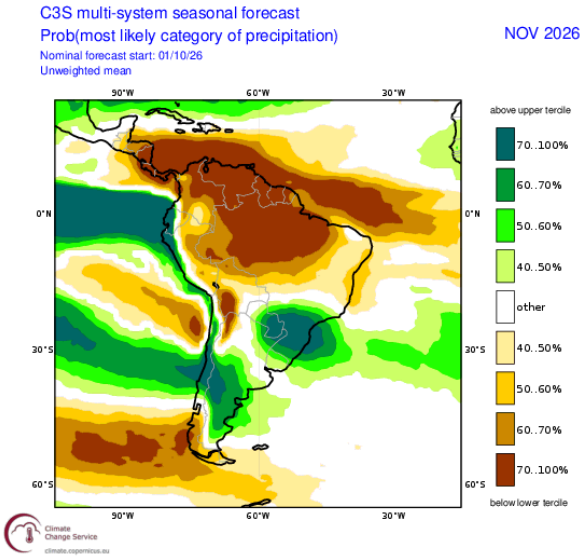
Interpretación climática.

Para noviembre, los modelos globales muestran una tendencia relativamente consistente hacia condiciones de menor precipitación en sectores del norte de Sudamérica.

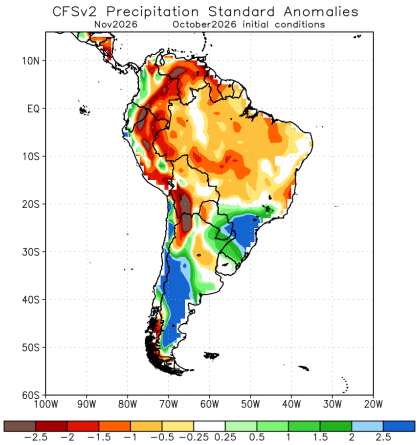
El pronóstico INAMHI coincide parcialmente con esta señal en la Amazonía, pero presenta una tendencia más húmeda en determinadas zonas de la región Interandina.

Por tanto, la concordancia entre los sistemas es **parcial**, sin que pueda establecerse una coincidencia uniforme para todo el territorio ecuatoriano.

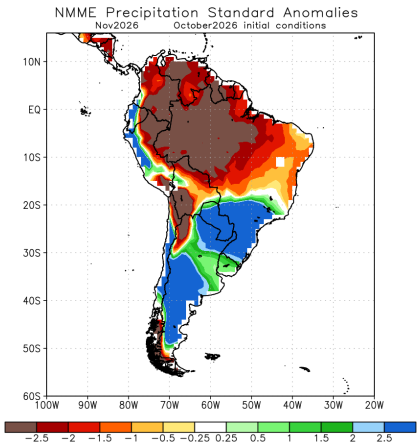
Dirección: Núñez de Vela N36-15 y Corea
Código postal: 170507 / Quito-Ecuador
Teléfono: +593-2 397 1100
www.inamhi.gob.ec



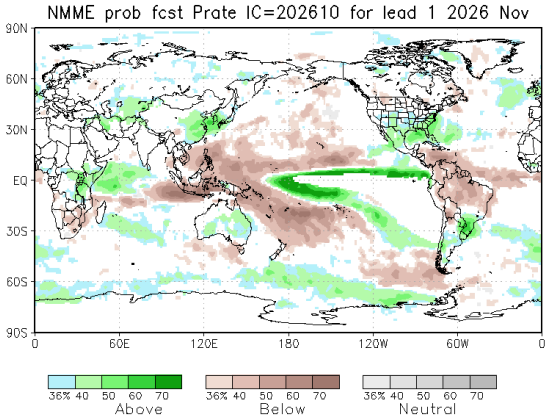
(a) Copernicus C3S



(b) CFSv2



(c) NMME



(d) Pronóstico de conjunto

Figura 7: Comparación de productos climáticos globales para noviembre de 2026. Los mapas presentan diferentes escalas y unidades.

5.3. Diciembre de 2026

Pronóstico nacional INAMHI.

Para diciembre, el pronóstico nacional presenta contrastes espaciales entre las diferentes regiones del Ecuador.

En la **región Litoral**, se identifican condiciones variables, con sectores donde las precipitaciones podrían mantenerse próximas a la normal y otros donde se proyectan anomalías positivas o negativas.

Estas diferencias reflejan que la tendencia de precipitación no es uniforme entre el perfil costero

Dirección: Núñez de Vela N36-15 y Corea
Código postal: 170507 / Quito-Ecuador
Teléfono: +593-2 397 1100
www.inamhi.gob.ec

EL NUEVO ECUADOR

y el interior de la región.

En la **región Interandina**, el modelo mantiene sectores con anomalías positivas, principalmente en determinadas zonas de la Sierra.

Sin embargo, también se observan diferencias espaciales que impiden generalizar una condición húmeda para toda la región.

En la **región Amazónica**, se mantienen sectores con anomalías negativas en la llanura oriental, mientras que las estribaciones presentan un comportamiento variable.

Contraste con Copernicus C3S.

Copernicus mantiene una señal relativamente seca sobre sectores del norte de Sudamérica, aunque con diferencias espaciales.

Esta tendencia coincide parcialmente con el pronóstico INAMHI en áreas amazónicas donde se proyectan precipitaciones inferiores a la normal.

En cambio, las anomalías positivas del pronóstico nacional en determinados sectores andinos presentan menor correspondencia con la señal global.

Contraste con CFSv2.

CFSv2 muestra anomalías estandarizadas que sugieren condiciones relativamente secas en sectores del entorno ecuatorial sudamericano.

La señal presenta concordancia parcial con las anomalías negativas del pronóstico nacional en zonas de la Amazonía.

No obstante, existen discrepancias en áreas de la Sierra donde INAMHI mantiene anomalías positivas.

Contraste con NMME.

NMME presenta una tendencia general similar a la identificada por los otros productos globales, con sectores de anomalías negativas en el norte de Sudamérica.

La comparación con INAMHI indica una coincidencia parcial de señal en sectores orientales y diferencias en zonas andinas con superávits pronosticados.

Interpretación climática.

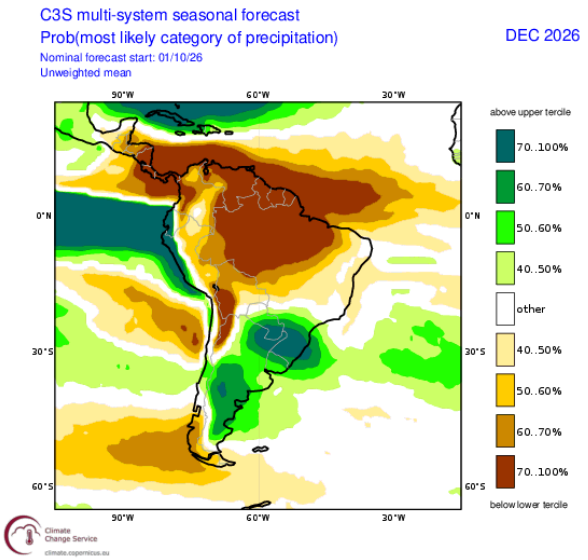
Durante diciembre, los modelos globales mantienen una señal relativamente seca en sectores del norte continental.

El pronóstico INAMHI presenta mayor variabilidad espacial, con anomalías positivas localizadas en la Sierra y negativas en determinados sectores amazónicos.

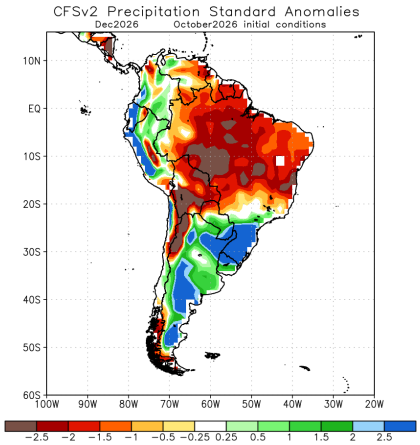
En consecuencia, se identifica una **concordancia parcial en la Amazonía y una discrepancia en sectores de la región Interandina**.

Para la Costa, no se establece una concordancia uniforme debido a la variabilidad espacial de las señales pronosticadas.

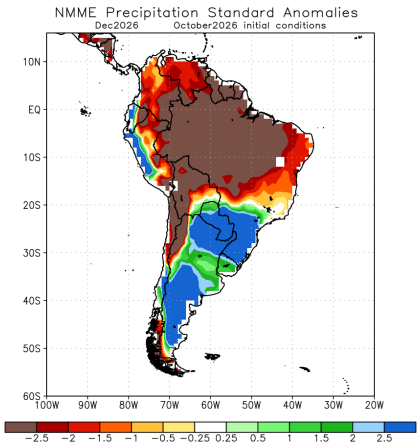
Dirección: Núñez de Vela N36-15 y Corea
Código postal: 170507 / Quito-Ecuador
Teléfono: +593-2 397 1100
www.inamhi.gob.ec



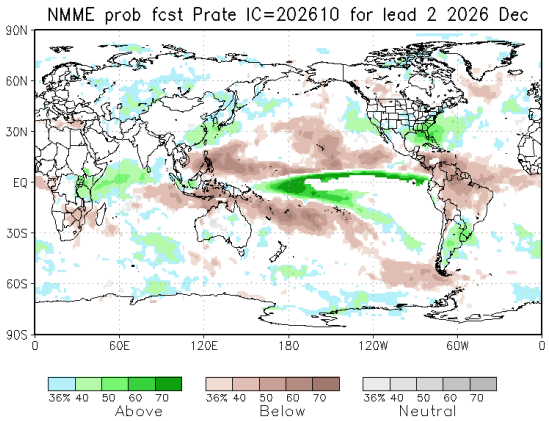
(a) Copernicus C3S



(b) CFSv2



(c) NMME



(d) Pronóstico de conjunto

Figura 8: Comparación de productos climáticos globales para diciembre de 2026.

5.4. Perspectiva trimestral IRI

El producto IRI emitido en septiembre para OND 2026 favorece la categoría inferior a la normal sobre buena parte del norte de Sudamérica. Esta perspectiva estacional no debe asignarse por igual a cada mes.

Dirección: Núñez de Vela N36-15 y Corea
Código postal: 170507 / Quito-Ecuador
Teléfono: +593-2 397 1100
www.inamhi.gob.ec

EL NUEVO ECUADOR

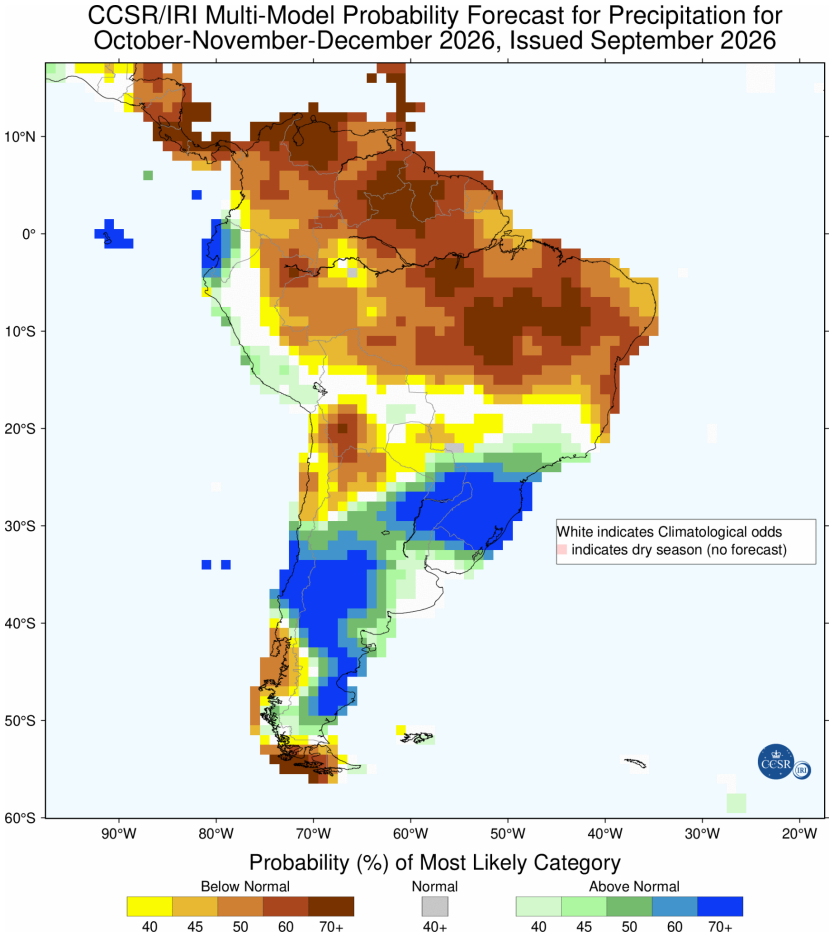


Figura 9: Pronóstico probabilístico IRI/CCSR para OND 2026, emitido en septiembre de 2026.

Dirección: Núñez de Vela N36-15 y Corea
Código postal: 170507 / Quito-Ecuador
Teléfono: +593-2 397 1100
www.inamhi.gob.ec

6. Discusión climatológica regional

Región Litoral. Los resultados del pronóstico nacional presentan una distribución espacial variable de las anomalías de precipitación, con sectores donde se esperan valores próximos, superiores o inferiores a la normal climatológica. Esta heterogeneidad también se identifica parcialmente en los productos globales, aunque existen diferencias en la extensión e intensidad de las señales pronosticadas.

En sectores climatológicamente secos, pequeñas variaciones en los acumulados mensuales pueden representar diferencias importantes respecto a las condiciones habituales de la región.

Región Interandina. Las principales discrepancias entre el pronóstico nacional y los modelos globales se identifican en la región andina, donde el CWRF presenta anomalías positivas localizadas, mientras que algunos modelos globales muestran una señal predominantemente seca sobre sectores del norte de Sudamérica.

Estas diferencias podrían estar relacionadas con la resolución espacial de los modelos globales, el tamaño de sus celdas de cálculo y la complejidad topográfica de la cordillera de los Andes. Debido a su menor resolución espacial, los modelos globales representan el relieve mediante elevaciones suavizadas, lo que puede limitar la identificación de contrastes locales de precipitación asociados a la altitud, la orientación de las laderas y los procesos orográficos.

El modelo regional CWRF, al disponer de una malla de mayor resolución, permite representar con mayor detalle la distribución espacial de la precipitación. Sin embargo, esto no implica necesariamente una mayor precisión del pronóstico.

A pesar de estas diferencias, se identifican contrastes espaciales parcialmente similares entre los productos globales y el pronóstico nacional, aunque la ubicación, extensión y magnitud de las anomalías no siempre coinciden. Por tanto, las discrepancias deben interpretarse considerando las características y limitaciones de cada sistema de predicción.

Región Amazónica. En la Amazonía se identifica una concordancia cualitativa parcial entre el pronóstico nacional y los modelos globales, especialmente durante noviembre y diciembre, cuando se observan señales de precipitación inferior a la normal en determinados sectores de la llanura oriental.

No obstante, en las estribaciones de la cordillera se presentan contrastes espaciales que pueden diferir entre modelos, posiblemente debido a la influencia del relieve y a las diferencias de resolución.

Interpretación de las anomalías. Es importante señalar que los valores de precipitación inferiores a la normal climatológica indican que los acumulados pronosticados se encuentran por debajo de los valores habituales para una determinada región y época del año. Esto no implica necesariamente ausencia de precipitaciones.

De manera similar, las anomalías positivas indican una tendencia hacia acumulados de precipitación superiores a los valores normales esperados para ese período y lugar, sin que esto signifique necesariamente la ocurrencia de eventos de lluvia extrema.

Consideraciones sobre la predicción climática. Al tratarse de resultados obtenidos mediante un modelo numérico de predicción climática (CWRF), debe considerarse que los valores pronosticados representan estimaciones de las condiciones climáticas esperadas y no garantizan su ocurrencia exacta.

Aunque existen discrepancias espaciales entre los productos analizados, se identifican coincidencias parciales en las tendencias y contrastes regionales de precipitación entre el pronóstico nacional

Dirección: Núñez de Vela N36-15 y Corea
Código postal: 170507 / Quito-Ecuador
Teléfono: +593-2 397 1100
www.inamhi.gob.ec

y varios modelos globales que abarcan Sudamérica.

Estas coincidencias permiten complementar la interpretación de las perspectivas climáticas nacionales, pero no constituyen por sí mismas una medida de la probabilidad de acierto ni una validación de la habilidad predictiva del modelo.

Por esta razón, los pronósticos climáticos deben analizarse y actualizarse periódicamente, considerando la evolución de las condiciones atmosféricas y oceánicas, las nuevas salidas de los modelos y las observaciones meteorológicas disponibles.

Dirección: Núñez de Vela N36-15 y Corea
Código postal: 170507 / Quito-Ecuador
Teléfono: +593-2 397 1100
www.inamhi.gob.ec